

## МОДЕЛЬ РАСПРЕДЕЛЕННОЙ СИСТЕМЫ ПРОТИВОДЕЙСТВИЯ УГРОЗАМ ИНФОРМАЦИОННОЙ БЕЗОПАСНОСТИ В КОРПОРАТИВНОЙ ТЕЛЕКОММУНИКАЦИОННОЙ СЕТИ

Л.М. Груздева (Москва)

По мере развития и усложнения корпоративных телекоммуникационных сетей (КТКС) повышается уязвимость информационных процессов и ресурсов, напрямую влияющая на производительность сети. Реализация угроз информационной безопасности (ИБ) способна создавать ситуацию невозможности эффективного выполнения основных функций КТКС, а также полностью блокировать ее работу.

Основную причину снижения производительности сетей специалисты связывают с недостаточной защищенностью информации и конкретно с информационными атаками злоумышленников.

В [1] формализована задача повышения производительности в условиях воздействия угроз информационной безопасности КТКС как задача построения системы защиты (СЗИ), которая смогла бы обеспечить максимально возможный уровень производительности сети при достоверном обнаружении и максимально эффективном противодействии угрозам ИБ. Для решения поставленной задачи была разработана модель распределенной СЗИ, позволяющая одновременно использовать различные технологии обнаружения и противодействия угрозам ИБ [1].

При реализации предложенной СЗИ авторы столкнулись с проблемой ухудшения системных характеристик КТКС. Очевидно, это происходило из-за того, что средства противодействия (СП), работая с предельной эффективностью, вносили значительные временные задержки в работу узлов сети. В результате проведенных экспериментов было выявлено, что отключение ряда СП не влекло к значительному снижению показателя защищенности, в то время как уменьшалась средняя задержка обмена информацией.

В статье предлагается алгоритм определения узлов сети, в которых должны быть инициированы средства противодействия при обнаружении угроз ИБ.

Модель КТКС. Рассмотрим разомкнутую модель КТКС, состоящую из источника пакетов (узел 0) и  $K$  СМО  $M/M/m_1/\infty, M/M/m_2/\infty, \dots, M/M/m_K/\infty$ . В общем случае разомкнутая СеМО задается стохастической маршрутной матрицей  $P_R = \|p_{ij}\|$ , где  $p_{ij}$  – вероят-

ность пересылки пакета из  $i$ -го узла в  $j$ -й узел, причем  $\sum_{j=0}^K p_{ij} = 1 \quad \forall i = \overline{0, K}$ . Средняя задержка пакетов в сети является одной из основных ее характеристик производительности.

На рис.1 представлена схема алгоритма инициирования средств противодействия угрозам ИБ в разомкнутой КТКС.

*Выбор варианта инициирования средств противодействия.* Определим для конкретности  $K$ -й узел как защищаемый ресурс разомкнутой СеМО. В каждом  $i$ -м узле ( $i = \overline{1, K-1}$ ) может быть инициировано СП, способное с вероятностью  $u_i$  противодействовать угрозам ИБ. В системе всего  $2^{(K-1)} - 1$  варианта инициирования СП, его номер численно равен двоичному числу:  $j = (x_1 x_2 \dots x_{M-1})_2$ , где

$$x_i = \begin{cases} 0, & \text{если СП не инициируется в } i\text{-м узле} \\ 1, & \text{если СП инициируется в } i\text{-м узле} \end{cases} \quad (i = \overline{1, K-1}).$$

Пусть в сети протекает случайный процесс распространения вредоносной программы (ВПР), предназначенной для реализации угроз информации, хранящейся в КТКС либо для скрытого нецелевого использования ресурсов, либо иного воздействия, препят-

ствующего нормальному функционированию сети. В этом случае СеМО может находиться в одном из дискретных состояний  $s_0, s_1, \dots, s_K$ . Переход из  $s_i$  состояния в  $s_j$  происходит с вероятностью  $p_{ij}$  и означает, что ВПр  $i$ -го узла заразила  $j$ -й узел ( $i, j = \overline{0, K}$ ).

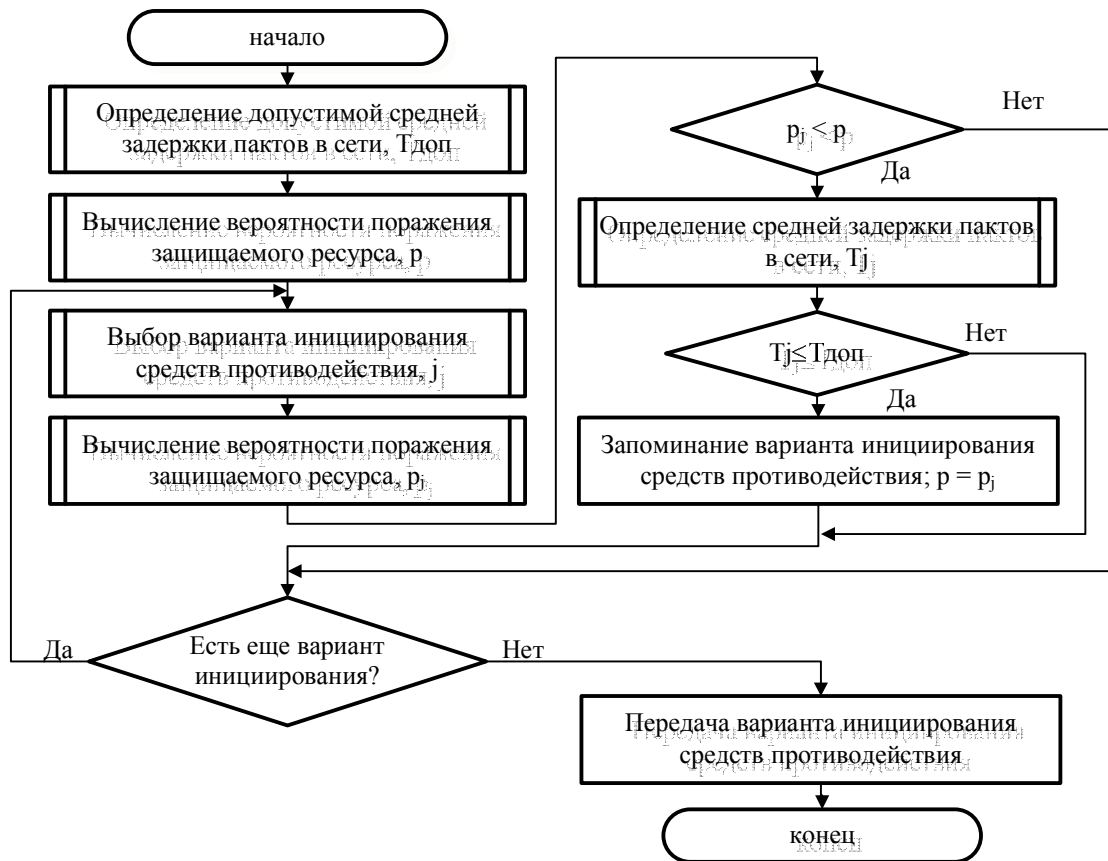


Рис. 1. Схема алгоритма инициирования СП разомкнутой КТКС

Пусть в начальный момент времени СеМО находится в состоянии  $s_0$ , т.е. ВПр находится в нулевом узле (источнике пакетов), при этом остальные узлы не заражены. В результате случайного процесса распространения ВПр происходит заражение восприимчивых узлов.

**Алгоритм вычисления вероятности противодействия простым одиночным угрозам ИБ без возвратов.**

**Шаг 1.** Построить матрицу  $Q$  на основе элементов матрицы  $P_R$ , введя в нее поглощающие состояния  $s_0$  и  $s_K$  (ВПр может покинуть систему без заражения  $K$ -го узла).

$$Q = \begin{pmatrix} 1 & 0 & 0 & \dots & 0 \\ p_{10} & p_{11} & p_{12} & \dots & p_{1K} \\ p_{20} & p_{21} & p_{22} & \dots & p_{2K} \\ \dots & \dots & \dots & \dots & \dots \\ 0 & 0 & 0 & \dots & 1 \end{pmatrix}. \quad (1)$$

**Шаг 2.** Если в системе нет СП, то перейти на шаг 3. В противном случае по номеру  $j$  ввести в (1) противодействие угрозам ИБ. Под противодействием будем понимать выброс ВПр в 0-й узел.

$$Q = \begin{pmatrix} 1 & 0 & \dots & 0 \\ p_{10} & p_{11} & \dots & p_{1K} \\ \hline p_{i0} + u_i \cdot (1 - p_{i0}) & (1 - u_i) p_{i1} & \dots & (1 - u_i) p_{iK} \\ \hline 0 & 0 & \dots & 1 \end{pmatrix}, \quad (2)$$

где  $u_i (i = 1, K-1)$  – вероятностью противодействия ВПр.

**Шаг 3.** Задать вектор распределения вероятностей на нулевом шаге:  $e = (0, p_{01}, p_{01}, \dots, p_{0K})$ .

**Шаг 4.** Найти распределение вероятностей состояний на  $n$ -м шаге по формуле:  $q(n) = e \cdot Q^n$ . Будем считать процесс распространения ВПр законченным на шаге  $n$ , если  $p_1(n) = p_2(n) = \dots = p_{K-1}(n) = 0$ . Вероятность поражения защищаемого ресурса  $p_j = p_K(n)$ , вероятность противодействия  $Q_{\text{ВПр}}(t) = p_0(n)$ . Конец алгоритма.

**Результаты моделирования.** Для реализации данного алгоритма было проведено имитационное моделирование процесса распространения ВПр в сети из семи узлов. При обработке данных по всем вариантам инициирования СП ( $2^{(7-1)} - 1 = 63$ ) было выявлено: в действующей сети без СП вероятность поражения  $p_0 = 0,550$ ; при инициировании СП ( $u = 0,9$ ) в каждом узле сети –  $p_{63} = 0,112$ , средняя задержка пакета в сети  $T$  увеличилась на  $\approx 30\%$ ; при включении СП только в первом, втором и третьем узлах сети –  $p_{56} = 0,176$ , значение  $T$  увеличилось на  $\approx 8\%$ .

Алгоритм вычисления вероятности противодействия угрозам ИБ простым одиночным угрозам ИБ с возвращением.

**Шаг 1.** Построить матрицу  $Q$  на основе элементов матрицы  $P_R$ , введя в нее поглощающее состояние  $s_K$  (атака будет продолжаться до тех пор пока не будет заражен  $K$ -й узел).

$$Q = \begin{pmatrix} 0 & p_{01} & p_{02} & \dots & p_{0K} \\ p_{10} & p_{11} & p_{12} & \dots & p_{1K} \\ \hline p_{20} & p_{21} & p_{22} & \dots & p_{2K} \\ \hline 0 & 0 & 0 & \dots & 1 \end{pmatrix}. \quad (3)$$

**Шаг 2.** Если в узлах нет СП, то перейти на шаг 3. В противном случае по номеру  $j$  ввести в (3) противодействие угрозам ИБ. Под противодействием будем понимать выброс ВПр в  $(K+1)$ -й узел.

$$Q = \begin{pmatrix} 0 & p_{01} & \dots & p_{0K} & 0 \\ p_{10} & p_{11} & \dots & p_{1K} & 0 \\ \hline (1 - u_i) \cdot p_{i0} & (1 - u_i) \cdot p_{i1} & \dots & (1 - u_i) \cdot p_{iK} & u_i \\ \hline 0 & 0 & \dots & 1 & 0 \\ 0 & 0 & \dots & 0 & 1 \end{pmatrix}. \quad (4)$$

**Шаг 3.** Задать вектор распределения вероятностей на нулевом шаге  $e = (1, 0, 0, \dots, 0)$ .

**Шаг 4.** Найти распределение вероятностей состояний на  $n$ -м шаге по формуле:  $q(n) = e \cdot Q^n$ . Будем считать процесс распространения ВПр законченным на шаге  $n$ , если  $p_1(n) = p_2(n) = \dots = p_{K-1}(n) = 0$ . Вероятность поражения защищаемого ресурса  $p_K(n)$ , вероятность противодействия  $Q_{\text{ВПр}}(t) = p_{K+1}(n)$ . Конец алгоритма.

**Результаты моделирования.** Имитационное моделирование показало, что реализация угрозы ИБ с помощью ВПр в разомкнутой СеМО без СП будет успешной на 45 шаге. Если инициировать СП только в 1-м узле сети, то будет достигнута наибольшая вероятность противодействия угрозам ИБ –  $Q_{\text{ВПр}}(t) = p_8(22) = 0,546$  (табл. 1).

Таблица 1

**Вероятности противодействия при инициировании СП  
в одном узле разомкнутой сети**

| Вероятность<br>противодействия | Номер варианта инициирования СП   |          |          |          |          |          |
|--------------------------------|-----------------------------------|----------|----------|----------|----------|----------|
|                                | $j = 32$                          | $j = 16$ | $j = 8$  | $j = 4$  | $j = 2$  | $j = 1$  |
|                                | Шаг окончания случайного процесса |          |          |          |          |          |
|                                | $n = 22$                          | $n = 33$ | $n = 40$ | $n = 41$ | $n = 34$ | $n = 43$ |
| $Q_{\text{ВПр}}(t)$            | 0,546                             | 0,405    | 0,498    | 0,408    | 0,435    | 0,398    |

При обработке данных по всем вариантам инициирования СП ( $2^{(7-1)} - 1 = 63$ ) было выявлено: в действующей сети без СП вероятность поражения  $p_0 = 1,000$ ; при инициировании СП ( $u = 0,7$ ) в каждом узле сети –  $p_{63} = 0,145$ , средняя задержка пакета в сети  $T$  увеличилась на  $\approx 30\%$ ; при включении СП только в 1-м, 2-м, 3-м и 4-м узлах сети –  $p_{60} = 0,158$ , значение  $T$  увеличилось на  $\approx 10\%$ .

### Выводы

Оперативное инициирование средства противодействия угрозам ИБ в наиболее уязвимых узлах КТКС позволяет обеспечить максимально возможное противодействие угрозам ИБ без значительного увеличения средней задержки пакетов в КТКС. Результаты моделирования подтвердили практическую ценность предложенного подхода.

### Литература

1. Груздева Л.М., Монахов М.Ю. Повышение производительности корпоративной сети АСУ в условиях воздействия угроз информационной безопасности // Известия высших учебных заведений. Приборостроение. – 2012. – Т. 55. – № 8. – С.53–56.